

УДК 539.3

ВЛИЯНИЕ ТРЕНИЯ НА СОБСТВЕННЫЕ ЧАСТОТЫ ПОДКРЕПЛЕННЫХ ЦИЛИНДРИЧЕСКИХ ОБОЛОЧЕК С УПРУГИМ ЗАПОЛНИТЕЛЕМ ПРИ ОСЕВОМ СЖАТИИ

Ф. А. Сейфуллаев, Ш. А. Керимова, Н. А. Агаева*

Институт математики и механики НАН Азербайджана, AZ1141 Баку, Азербайджан

* Научно-исследовательский проектный институт "Нефтегаз", AZ1012 Баку, Азербайджан
E-mails: a.seyfullayev@yahoo.com, shusha_az@rambler.ru, n.agayeva1975@gmail.com

С использованием вариационного принципа исследуются колебания подкрепленной тонкой цилиндрической оболочки с наполнителем при осевом сжатии с учетом трения на поверхности их контакта. Построены зависимости частоты собственных колебаний от числа волн в окружном направлении.

Ключевые слова: оболочка, колебание, модуль упругости, деформация, полная энергия, коэффициент трения.

DOI: 10.15372/PMTF20190414

Введение. В различных отраслях машиностроения широко применяются цилиндрические оболочки с наполнителями, что обуславливает необходимость более полного учета характеристик материалов и конструкций для проведения надежных расчетов на прочность. Для более достоверного описания несущей способности конструкции целесообразно учитывать силы воздействия со стороны наполнителя. Одним из видов такого воздействия является его контакт с упругой средой. Силы воздействия со стороны наполнителя являются поверхностными силами и возникают вследствие контакта оболочки и упругого наполнителя. При расчете параметров таких оболочек необходимо учитывать силы трения, обусловленные взаимодействием оболочки с наполнителем.

В данной работе с использованием вариационного принципа исследуются колебания подкрепленной тонкой цилиндрической оболочки с наполнителем при осевом сжатии с учетом трения на поверхности их контакта. Построены зависимости частоты собственных колебаний системы от числа волн в окружном направлении.

Следует отметить, что большинство известных решений получены для подкрепленной цилиндрической оболочки без наполнителя [1]. Колебания гладких цилиндрических оболочек с наполнителем достаточно полно исследованы в работах [2–8]. В работе [4] изучены колебания цилиндрических оболочек, усиленных продольными ребрами и заполненных упругой средой.

Постановка задачи. В данной работе исследуются свободные колебания цилиндрических оболочек с наполнителем, подкрепленных перекрестной системой ребер, при осевом сжатии с учетом трения между оболочкой и наполнителем. Проводится анализ влияния параметров внешней среды на частоту собственных колебаний системы.

Задача решается с использованием энергетического метода. Выражение для потенциальной энергии оболочки, нагруженной осевыми сжимающими силами, имеет вид [1]

$$\begin{aligned}
 P = & \frac{Eh}{2(1-v^2)} \int_0^{\xi_1} \int_0^{2\pi} \left\{ \left(\frac{\partial u}{\partial \xi} + \frac{\partial v}{\partial \theta} - w \right)^2 + 2(1-v) \frac{\partial u}{\partial \xi} \left(\frac{\partial v}{\partial \theta} - w \right) - \frac{1}{4} \left(\frac{\partial u}{\partial \theta} + \frac{\partial v}{\partial \xi} \right)^2 \right\} d\xi d\theta + \\
 & + \frac{Eh}{24(1-v^2)R^2} \int_0^{\xi_1} \int_0^{2\pi} \left\{ \left(\frac{\partial^2 w}{\partial \xi^2} + \frac{\partial^2 w}{\partial \theta^2} + \frac{\partial v}{\partial \theta} \right)^2 - \right. \\
 & \quad \left. - 2(1-v) \left[\frac{\partial^2 w}{\partial \xi^2} \left(\frac{\partial^2 w}{\partial \theta^2} + \frac{\partial v}{\partial \theta} \right) - \frac{1}{4} \left(\frac{\partial^2 w}{\partial \xi \partial \theta} + \frac{\partial v}{\partial \xi} \right)^2 \right] \right\} d\xi d\theta + \\
 & + \frac{E_c}{2R} \sum_{i=1}^k \int_0^{\xi_1} \left[F_c \left(\frac{\partial u}{\partial \xi} - \frac{h_c}{R} \frac{\partial^2 w}{\partial \xi^2} \right)^2 + \frac{I_{yc}}{R^2} \left(\frac{\partial^2 w}{\partial \xi^2} \right)^2 + \frac{G_c}{E_c} I_{кр.с} \frac{G_c}{E_c} \left(\frac{\partial^2 w}{\partial \xi \partial \theta} + \frac{\partial v}{\partial \xi} \right)^2 \right]_{\theta=\theta_i} d\xi - \\
 & \quad - \frac{\sigma_x h}{2} \int_0^{\xi_1} \int_0^{2\pi} \left(\frac{\partial w}{\partial \xi} \right)^2 d\xi d\theta - \frac{\sigma_x F_c}{2R} \sum_{i=1}^k \int_0^{\xi_1} \left(\frac{\partial w}{\partial \xi} \right)^2 \Big|_{\theta=\theta_i} d\xi, \quad (1)
 \end{aligned}$$

где $\xi_1 = L/R$; $\xi = x/R$; $\theta = y/R$; x, y, z — координаты; E_c, G_c — модули упругости и сдвига материала продольных ребер (стержней); k — количество продольных ребер; σ_x — осевые сжимающие напряжения; u, v, w — компоненты вектора перемещений оболочки; h, R — толщина и радиус оболочки соответственно; E, ν — модуль Юнга и коэффициент Пуассона материала оболочки; $F_c, I_{yc}, I_{кр.с}$ — площадь и момент инерции поперечного сечения продольного стержня относительно оси y , а также момент инерции при кручении соответственно; $\theta_i = 2\pi i/k$.

Кинетическая энергия оболочки определяется по формуле

$$\begin{aligned}
 K = & \frac{Eh}{2(1-v^2)} \int_0^{\xi_1} \int_0^{2\pi} \left[\left(\frac{\partial u}{\partial t_1} \right)^2 + \left(\frac{\partial v}{\partial t_1} \right)^2 + \left(\frac{\partial w}{\partial t_1} \right)^2 \right] d\xi d\theta + \\
 & + \frac{\bar{\rho}_c E_c F_c}{2R(1-v^2)} \sum_{i=1}^k \int_0^{\xi_1} \left[\left(\frac{\partial u}{\partial t_1} \right)^2 + \left(\frac{\partial w}{\partial t_1} \right)^2 \right]_{\theta=\theta_i} d\xi, \quad (2)
 \end{aligned}$$

где $\bar{\rho}_c = \rho_c/\rho_0$; ρ_0, ρ_c — плотности материалов оболочки и продольного стержня соответственно.

Со стороны заполнителя к оболочке приложена поверхностная нагрузка. Выражение для работы, совершаемой этой нагрузкой при переходе системы из деформированного состояния в начальное недеформированное, имеет вид

$$A_0 = - \int_0^{\xi_1} \int_0^{2\pi} (q_x u + q_\theta v + q_z w) d\xi d\theta + \int_0^{\xi_1} \int_0^{2\pi} f q_z (u + v) d\xi d\theta \quad (3)$$

(q_x, q_θ, q_z — компоненты нагрузки, действующей со стороны заполнителя на оболочку; f — коэффициент трения).

Полная энергия системы равна

$$\Pi = P + K + A_0. \quad (4)$$

Запишем уравнение движения среды в векторной форме [2, 3]

$$a_e^2 \operatorname{grad} \operatorname{div} \mathbf{S} - a_t^2 \operatorname{rot} \operatorname{rot} \mathbf{S} + \omega^2 \mathbf{S} = 0, \quad 0 \leq x \leq L, \quad 0 \leq r \leq R, \quad (5)$$

где $a_t^2 = (\lambda + 2\mu)/\rho$; $a_e^2 = \mu/\rho$; a_t , a_e — скорости распространения продольных и поперечных волн в заполнителе соответственно; $\mathbf{S} = (S_x, S_\theta, S_z)$ — вектор перемещения; λ , μ — коэффициенты Ламе для среды. К системам уравнений движения среды (5) добавляются условия на контактной поверхности. Предполагается, что контакт между оболочкой и заполнителем жесткий, т. е. при $r = R$

$$u = S_x, \quad v = S_\theta, \quad w = S_z; \quad (6)$$

$$q_x = -\sigma_{rx}, \quad q_y = -\sigma_{r\theta}, \quad q_z = -\sigma_{rr}. \quad (7)$$

Здесь σ_{rx} , $\sigma_{r\theta}$, σ_{rr} — компоненты тензора напряжений [2, 3]:

$$\begin{aligned} \sigma_{rx} &= \mu_s \left(\frac{\partial S_x}{\partial r} + \frac{\partial S_r}{\partial x} \right), & \sigma_{r\theta} &= \mu_s \left(r \frac{\partial}{\partial r} \frac{S_r}{r} + \frac{1}{r} \frac{\partial S_r}{\partial \theta} \right), \\ \sigma_{rr} &= \lambda_s \left(\frac{\partial S_r}{\partial x} + r \frac{\partial}{\partial r} \frac{S_r}{r} + \frac{1}{r} \frac{\partial S_\theta}{\partial \theta} \right) + 2\mu_s \frac{\partial S_r}{r}, \end{aligned} \quad (8)$$

λ_s , μ_s — коэффициенты Ламе для заполнителя.

Дополняя уравнения движения заполнителя (5) условиями на контактной поверхности (6), (7), получаем контактную задачу о колебаниях цилиндрической оболочки с заполнителем, подкрепленной перекрестной системой ребер. Решение этой задачи сводится к совместному интегрированию уравнений теории оболочек и уравнений движения заполнителя при выполнении условий (6), (7).

Метод решения. Ниже рассматриваются оболочки, края которых шарнирно оперты. Компоненты вектора перемещений таких оболочек будем искать в виде

$$u = A \cos kx \cos n\varphi e^{i\omega_1 t_1}, \quad v = B \sin kx \sin n\varphi e^{i\omega_1 t_1}, \quad w = C \sin kx \cos n\varphi e^{i\omega_1 t_1}, \quad (9)$$

где A , B , C — неизвестные постоянные; $k = m\pi/L$ ($m = 1, 2, \dots$); m , n — волновые числа в продольном и окружном направлениях соответственно; L — длина оболочки,

$$\omega_1 = \frac{\omega}{\omega_0} = \sqrt{\frac{(1-v^2)\rho_0 R^2 \omega^2}{E}}, \quad t_1 = \omega_0 t, \quad \omega_0 = \sqrt{\frac{E}{(1-v^2)\rho_0 R^2}},$$

ω , ω_0 — собственные частоты колебаний подкрепленной оболочки и оболочки без подкрепления, имеющих один и тот же вес.

Решения системы (5) имеют следующий вид [3]:

1) при малых инерционных силах, действующих со стороны заполнителя на оболочку,

$$\begin{aligned} S_x &= \left[\left(-kr \frac{\partial I_n(kr)}{\partial r} - 4(1-v_s)kI_n(kr) \right) A_s + kI_n(kr)B_s \right] \cos n\varphi \cos kx e^{i\omega_1 t_1}, \\ S_\varphi &= \left(-\frac{n}{r} I_n(kr)B_s - \frac{\partial I_n(kr)}{\partial r} \gamma_{1r} C_s \right) \sin \varphi \cos kx e^{i\omega_1 t_1}, \\ S_r &= \left(-k^3 r I_n(kr)A_s + \frac{\partial I_n(kr)}{\partial r} B_s + \frac{n}{r} I_n(kr)C_s \right) \cos n\varphi \sin kx e^{i\omega_1 t_1}; \end{aligned} \quad (10)$$

2) при больших инерционных силах, действующих со стороны заполнителя на оболочку,

$$\begin{aligned} S_x &= \left(A_s k I_n(\gamma_e r) - \frac{C_s \gamma_t^2}{\partial r} I_n(\gamma_1 r) \right) \cos n\varphi \cos kx e^{i\omega_1 t_1}, \\ S_\varphi &= \left(-\frac{A_s n}{r} I_n(\gamma_e r) - \frac{C_s n k}{r\mu} I_n(\gamma_1 r) - \frac{B_s}{n} \frac{\partial I_n(\gamma_1 r)}{\partial r} \right) \sin n\varphi \sin kx e^{i\omega_1 t_1}, \\ S_r &= \left(A_s \frac{\partial I_n(\gamma_e r)}{\partial r} - \frac{C_s k}{\mu_1} \frac{\partial I_n(\gamma_1 r)}{\partial r} + \frac{B_s}{r} I_n(\gamma_1 r) \right) \cos n\varphi \sin kx e^{i\omega_1 t_1}. \end{aligned} \quad (11)$$

В (10), (11) I_n — модифицированная функция Бесселя n -го порядка первого рода; A_s, B_s, C_s — постоянные.

Используя условия на контактной поверхности (6), выражения для перемещений оболочек (9), решение уравнения движения среды (10), (11), выразим постоянные A_s, B_s, C_s через A, B, C . В результате для q_x, q_θ, q_r находим

$$\begin{aligned} q_x &= (\tilde{C}_{x1}A + \tilde{C}_{x2}B + \tilde{C}_{x3}C) \cos n\varphi \cos kx e^{i\omega_1 t_1}, \\ q_\theta &= (\tilde{C}_{\theta1}A + \tilde{C}_{\theta2}B + \tilde{C}_{\theta3}C) \sin n\varphi \sin kx e^{i\omega_1 t_1}, \\ q_r &= (\tilde{C}_{x1}A + \tilde{C}_{x2}B + \tilde{C}_{x3}C) \cos n\varphi \sin kx e^{i\omega_1 t_1}. \end{aligned} \quad (12)$$

Подставляя (12) в (3) и интегрируя по ξ и θ , для работы распределенных нагрузок, действующих со стороны заполнителя на оболочку, получаем выражение

$$\begin{aligned} A_0 &= -R^2\pi [S_2\tilde{C}_{x1}A^2 + (S_2\tilde{C}_{x2} + S_1\tilde{C}_{\theta1})AB + (S_2\tilde{C}_{x3} + S_1\tilde{C}_{r1})AC + \\ &\quad + S_1(\tilde{C}_{\theta3} + \tilde{C}_{r2})BC + S_1\tilde{C}_{\theta2}B^2 + S_1\tilde{C}_{r3}C^2], \end{aligned} \quad (13)$$

где \tilde{C}_{ra} — постоянная; $S_1 = 1/2 - \sin(2k\xi_1)/(4k)$.

С использованием (1), (2), (13) для полной энергии системы находим полином второго порядка относительно постоянных A, B, C :

$$\begin{aligned} \Pi &= (\hat{\varphi}_{11} - S_2\hat{C}_{x1} - \psi_{11}\omega_1^2)A^2 + (\hat{\varphi}_{22} - S_1\hat{C}_{\theta2} - \psi_{22}\omega_1^2)B^2 + \\ &\quad + (\hat{\varphi}_{23} - S_1\hat{C}_{r3} - \psi_{33}\omega_1^2 + I_1\sigma_x)C^2 + (\hat{\varphi}_{44} - S_2\hat{C}_{x2} + S_1\hat{C}_{\theta1})AB + \\ &\quad + (\hat{\varphi}_{55} - S_2\hat{C}_{x3} + S_1\hat{C}_{r1})AC + S_1(\hat{\varphi}_{66} + \hat{C}_{\theta3} + \hat{C}_{r2})BC. \end{aligned}$$

Заметим, что выражения для величин $\hat{\varphi}_{ii}$ ($i = 1, 2, \dots, 6$), ψ_{ii} ($i = 1, 2, \dots, 6$), I_i ($i = 1, 2$) имеют громоздкий вид, поэтому в данной работе не приводятся.

Из условий экстремума полной энергии рассматриваемой системы Π относительно параметров A, B, C получаем систему линейных алгебраических уравнений третьего порядка, нетривиальные решения которых существуют лишь в том случае, если определитель этой системы равен нулю. Приравнявая определители указанных систем к нулю, получаем следующие частотные уравнения:

$$\begin{aligned} 2(\hat{\varphi}_{11} - S_2\hat{C}_{x1} - \psi_{11}\omega_1^2)A + (\hat{\varphi}_{44} + S_2\hat{C}_{x2} + S_1\hat{C}_{\theta1})B + (\hat{\varphi}_{55} - S_2\hat{C}_{x3} + S_1\hat{C}_{r1})C &= 0, \\ (\hat{\varphi}_{44} + S_2\hat{C}_{x2} + S_1\hat{C}_{\theta1})A + 2(\hat{\varphi}_{22} - S_1\hat{C}_{\theta2} - \psi_{22}\omega_1^2)B + (\hat{\varphi}_{66} + \hat{C}_{\theta3} + \hat{C}_{r2})C &= 0, \\ (\hat{\varphi}_{55} + S_2\hat{C}_{x3} + S_1\hat{C}_{r1})A + (\hat{\varphi}_{66} + \hat{C}_{\theta3} + \hat{C}_{r2})B + 2(\hat{\varphi}_{33} - S_1\hat{C}_{r3} - \psi_{33}\omega_1^2 + I_1\sigma_x)C &= 0. \end{aligned} \quad (14)$$

Нетрудно показать, что в случае 1 система уравнений (14) сводится к кубическому уравнению относительно ω_1^2 , в случае 2 — к трансцендентному уравнению. Поскольку далее исследуются только низкие частоты изгибных колебаний, это уравнение в случае 1 можно упростить, отбросив слагаемые с ω_1^4 и ω_1^6 . В результате получаем ($\omega_1^2 = \lambda_a$)

$$\lambda_a = \frac{f_3^2 f_4 + f_1 f_5^2 + f_2^2 f_6}{2f_5^2 \psi_{11} + f_2^2 \psi_{33} - 4f_1 f_4 \psi_{33} - 0,5 f_6 (f_1 \psi_{22} + f_4 \psi_{11})},$$

где

$$f_1 = \hat{\varphi}_{11} - S_2 \hat{C}_{x1}, \quad f_2 = \hat{\varphi}_{44} + S_2 \hat{C}_{x2} + S_1 \hat{C}_{\theta 1}, \quad f_3 = \hat{\varphi}_{55} + S_2 \hat{C}_{x1} + S_1 \hat{C}_{r1}, \\ f_5 = \hat{\varphi}_{66} + \hat{C}_{\theta 3} + \hat{C}_{r2}, \quad f_6 = \hat{\varphi}_{33} - S_1 \hat{C}_{r3} + I_1 \sigma_x.$$

Аналогично определяется величина λ_b в случае 2.

Анализ результатов расчетов. Ниже приводятся результаты исследования влияния числа ребер и жесткости заполнителя на критическое напряжение осевого сжатия. Расчеты выполнены для оболочки, заполнителя и ребер со следующими параметрами: $E = E_c = E_h = 6,67 \cdot 10^9$ Н/м², $\nu = 0,3$, $x = 1$, $n = 8$, $h_h = 1,39$ мм, $R = 160$ мм, $L_1 = 800$ мм, $F_c / (2\pi R h) = 0,01591$, $I_{yc} / (2\pi R^3 h) = 0,8289$, $h = 0,45$ мм, $F_x = 5,75$ мм², $I_{sh} = 19,9$ мм⁴, $|h_c| = 0,01375R$, $I_{кр.c} / (2\pi R^3 h) = 0,5305 \cdot 10^{-6}$, $I_{кр.h} = 0,48$ мм⁴, $f = 0,25$.

На рис. 1 приведена зависимость частоты $\omega = \omega_1 \omega_0$ от напряжения осевого сжатия. Видно, что с увеличением напряжения частота колебаний системы уменьшается. Кроме того, при учете трения собственная частота исследуемой системы также уменьшается.

В данной работе варьируемыми параметрами являются относительная толщина оболочки $h^* = h/R$, расстояние между продольными и поперечными ребрами, отнесенное к толщине оболочки, отношение веса всех ребер к весу оболочки φ'_1 и отношение веса продольных ребер к весу поперечных ребер φ'_2 . При этом предполагается, что радиус и длина оболочки, а также характеристики сечений продольных и поперечных ребер заданы. Заметим, что для прямоугольных сечений необходимо задавать отношения высот продольных

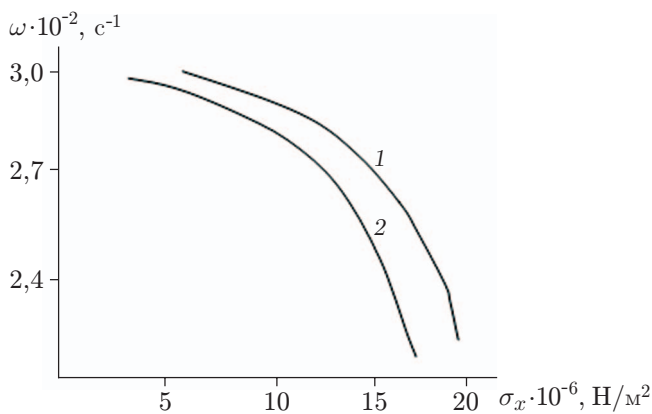


Рис. 1

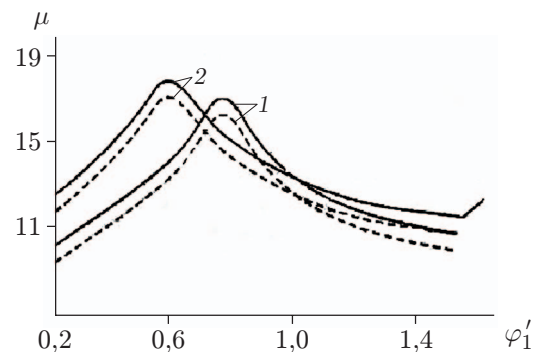


Рис. 2

Рис. 1. Зависимость частоты колебаний системы ω от сжимающих напряжений ($n = 4, k = 12$):

1 — $f = 0$, 2 — $f = 0,25$

Рис. 2. Зависимость величины μ от относительных весов ребер:

сплошные линии — колебания подкрепленной оболочки с заполнителем, штриховые — колебания гладкой оболочки с заполнителем; 1 — $\varphi'_2 = 0$, 2 — $\varphi'_2 = 0,4$

и поперечных ребер к их ширине ψ_1 и ψ_2 соответственно. Безразмерные характеристики ребер, входящие в (1), (2), выражаются через следующие параметры:

$$\begin{aligned}\bar{\gamma}_c^{(1)} &= \frac{\varphi'_1 \varphi'_2}{1 + \varphi'_2}, & \bar{\gamma}_s^{(2)} &= \frac{\varphi'_1}{1 + \varphi'_2}, & \frac{h_c}{R} &= -\frac{h^*}{2} \left(1 + \sqrt{a_1 \varphi_1 \bar{\gamma}_c^{(1)}}\right), \\ \mu_{s2} &= \frac{1-v}{6} \frac{a_2}{\psi_2} (h^*)^2 (\bar{\gamma}_s^{(2)})^2, & \frac{h_c}{R} &= -\frac{h^*}{2} \left(1 + \left(1 + \frac{1}{k}\right) \sqrt{a_1 \varphi_1 \bar{\gamma}_c^{(1)}}\right), \\ \eta_{s1}^{(2)} &= \bar{\gamma}_{s1}^{(2)} \bar{\gamma}_s^{(2)} \frac{a_2 \psi_2 (h^*)^2}{12}, \\ \eta_c^{(1)} &= \bar{\gamma}_c^{(1)} \left[\frac{a_1}{12} \psi_1 \bar{\gamma}_c^{(1)} (h^*)^2 + \left(\frac{h_c}{R}\right)^2 \right], & \mu_{s1} &= \frac{1-v}{6} (h^*)^2 (\bar{\gamma}_c^{(1)})^2 \frac{a_1}{\psi_1}.\end{aligned}$$

При такой постановке результат исследования практически не зависит от характеристик материала оболочки, поскольку минимальные частоты ω_{\min}^2 , как известно, слабо зависят от коэффициента Пуассона ν , а их отношение $\mu = \omega_{\min}^2/\nu$ не зависит от модуля упругости E . Следует отметить, что для улучшения несущей способности оболочки необходимо найти такое сочетание параметров h^* , a_1 , a_2 , φ'_1 и φ'_2 , при котором μ принимает наибольшее значение.

На рис. 2 представлены зависимости $\mu(\varphi'_1)$ при различных значениях φ'_2 . Анализ результатов вычислений показывает, что наилучшая несущая способность оболочки достигается при ее усилении только поперечными ребрами ($\varphi'_2 = 0$), для которых $\mu_{\max} = 16,3$. Абсцисса точки максимума равна 0,5.

ЛИТЕРАТУРА

1. **Амиро И. Я.** Теория ребристых оболочек. Методы расчета оболочек / И. Я. Амиро, В. А. Заруцкий. Киев: Наук. думка, 1980.
2. **Ильгамов М. А.** Прочность, устойчивость и динамика оболочек с упругим наполнителем / М. А. Ильгамов, В. А. Иванов, Б. А. Гулин. М.: Наука, 1977.
3. **Латифов Ф. С.** Колебания оболочек с упругой и жидкой средой. Баку: Элм, 1999.
4. **Semenov A. A.** Model of deformation stiffened orthotropic shells under dynamic loading // J. Sib. Federal Univ. Math. Phys. 2016. V. 9, N 4. P. 485–497.
5. **Босяков С. М., Чживэй В.** Анализ свободных колебаний цилиндрической оболочки из стеклопластика при граничных условиях Навье // Механика машин, механизмов и материалов. 2011. № 3. С. 24–27.
6. **Латифов Ф. С., Сейфуллаев Ф. А., Алыев Ш. Ш.** Свободные колебания усиленной поперечными ребрами анизотропной цилиндрической оболочки из стеклопластика с текущей в ней жидкостью // ПМТФ. 2016. Т. 57, № 4. С. 158–162.
7. **Seyfullayev A. I., Novruzova K. A.** Oscillations of longitudinally reinforced orthotropic cylindrical shell filled with a viscous fluid // East.-Europ. J. Enterprise Technol. 2015. N 3/7. P. 29–33.
8. **Мамедов Дж. Н.** Свободные колебания цилиндрических оболочек с наполнителем, усиленных продольными ребрами, при осевом сжатии // Механика и машиностроение. 2007. № 4. С. 7–11.

*Поступила в редакцию 6/III 2018 г.,
после доработки — 22/I 2019 г.
Принята к публикации 28/I 2019 г.*